



Teilnahme auf ALMA registrieren





BESPRECHUNG ÜBUNG 9



Audiokompression



Hürden bei der Audiokompression

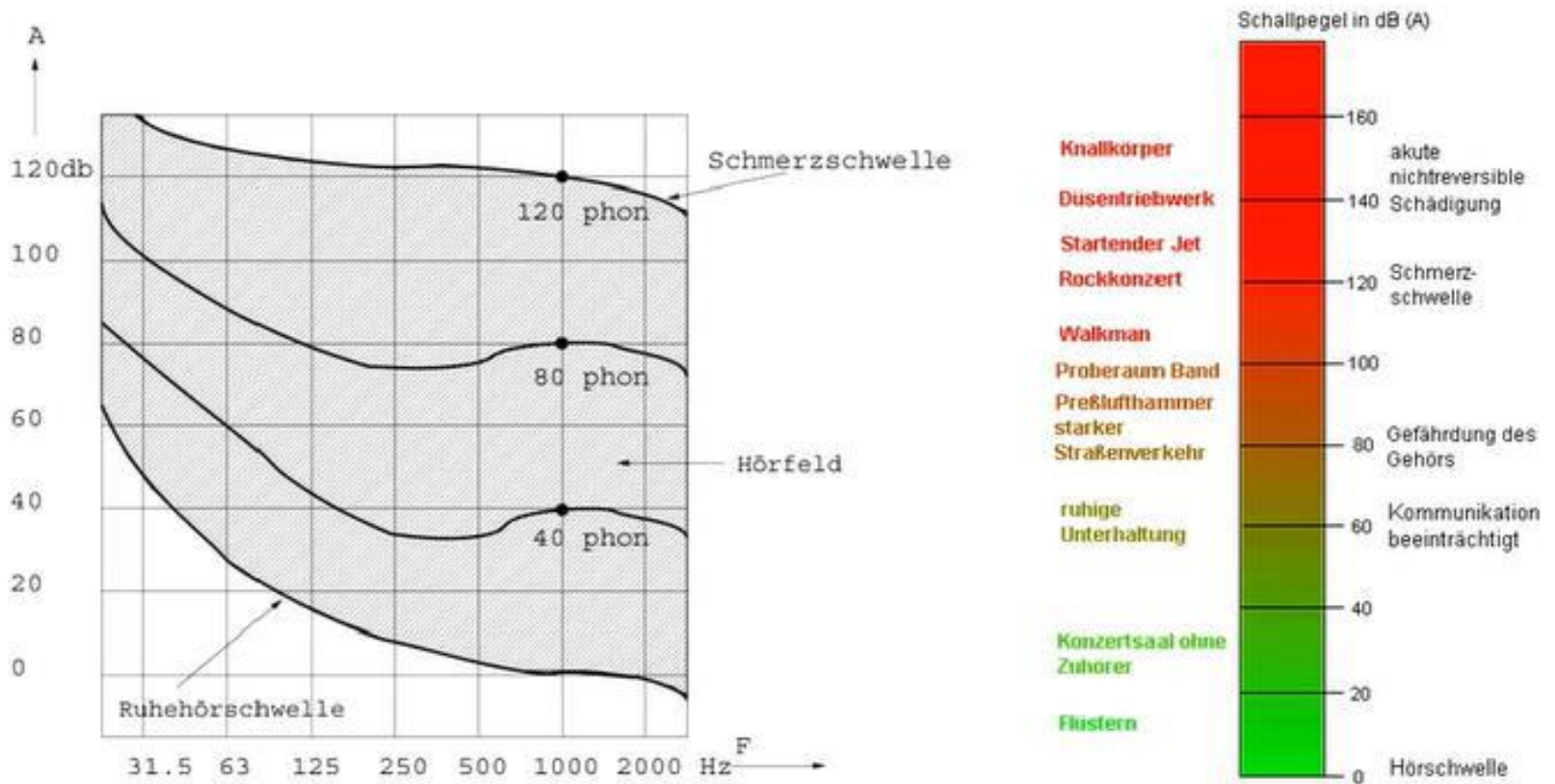
- **Kaum Korrelation** in einer Audioaufnahme (in Bildern haben benachbarte Pixel oft ähnliche Farben)
- **Keine erkennbaren Muster** → aus einem Gespräch können wir nicht häufige Wörter nur einmal abspeichern und damit die ursprüngliche Datei rekonstruieren
- **Datenwerte** (Frequenzen) sind annähernd **gleichverteilt** → Entropiekodierungen wie Huffman haben eine geringe Effizienz

⇒ Wir müssen uns **Eigenschaften des menschlichen Hörens** (psychoakustisches Modell) zunutze machen, um Daten einsparen zu können



Psychoakustisches Modell

Menschliches Hörfeld: ca. 20-20.000 Hz bei 0 dB – 120 dB

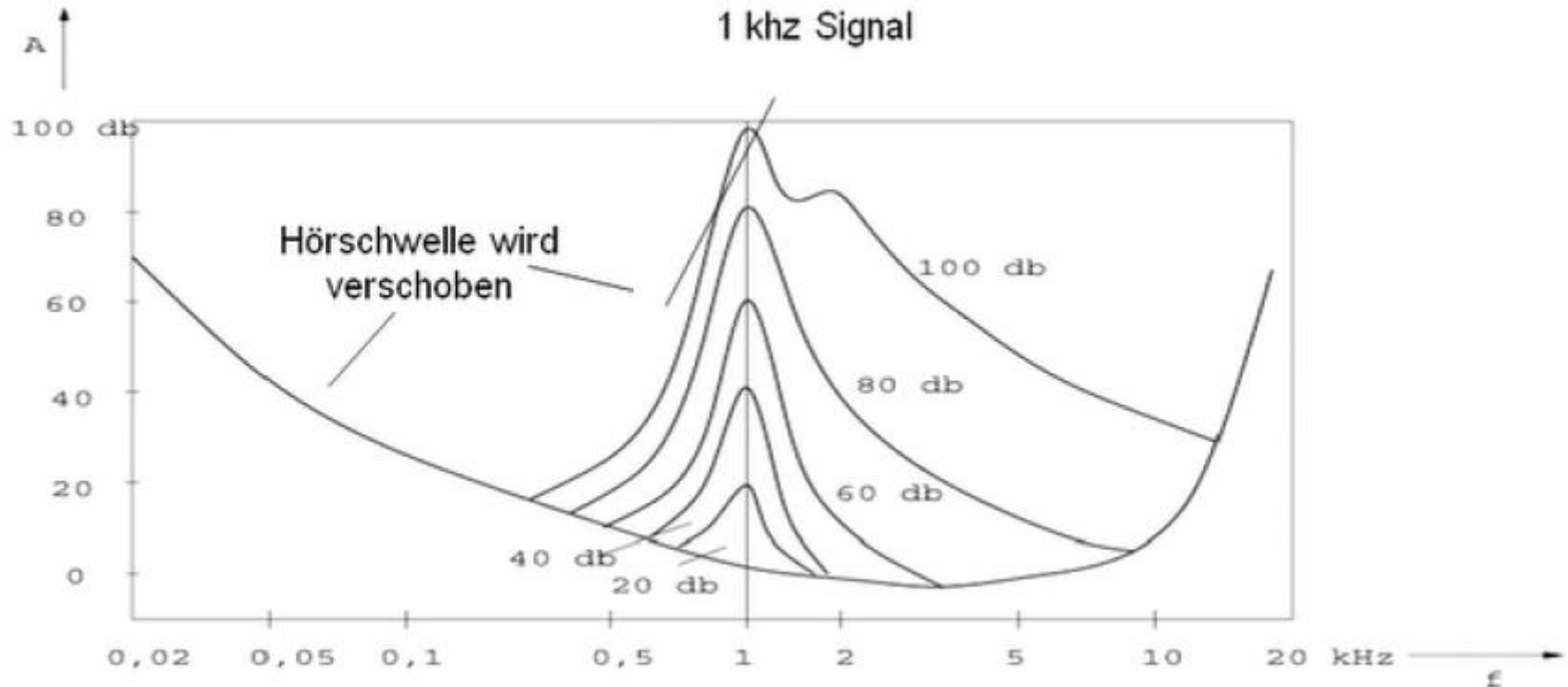




Psychoakustisches Modell

■ **Simultane Verdeckung:**

→ Laute Töne maskieren zeitgleiche leisere Töne auch in anderen Frequenzen

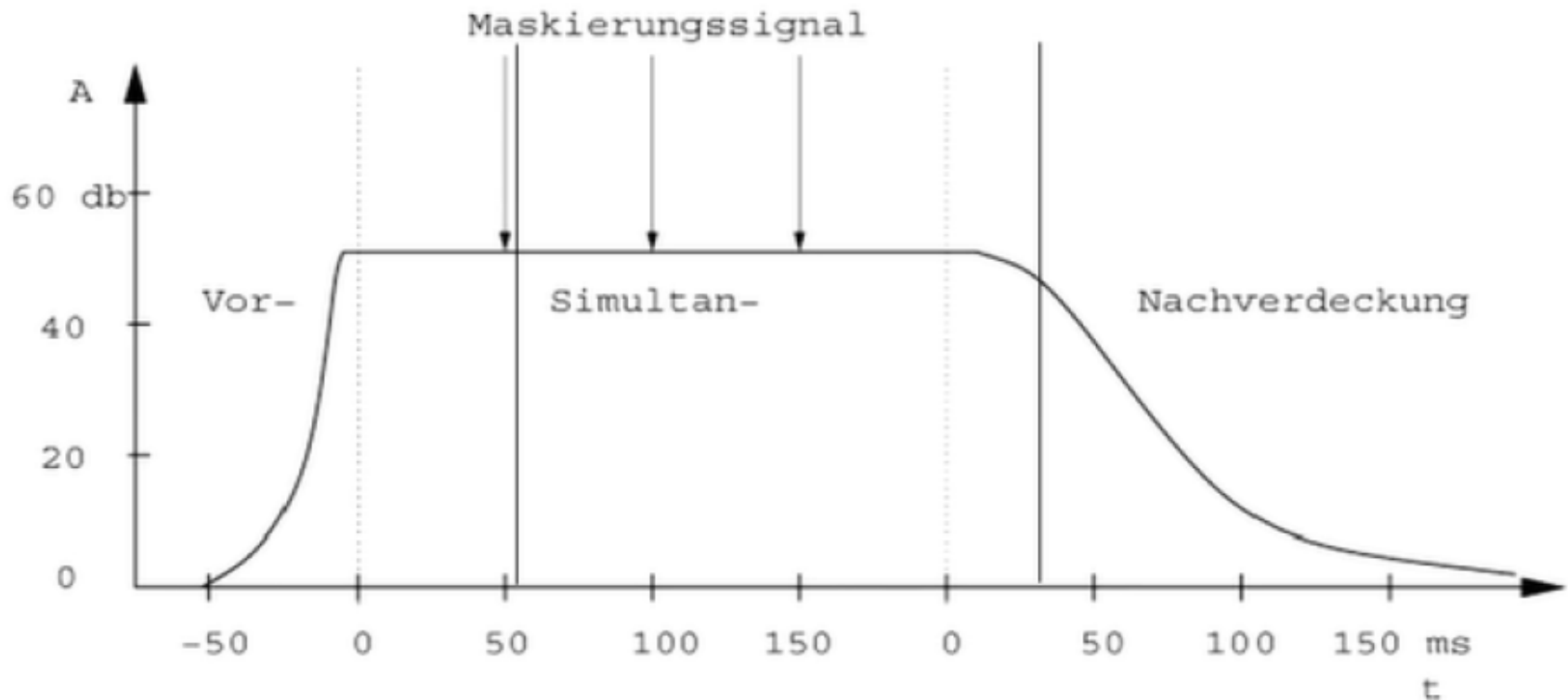




Psychoakustisches Modell

■ Temporäre Verdeckung:

→ Laute Töne maskieren leisere Töne kurz vor und nach dem lauten Ton

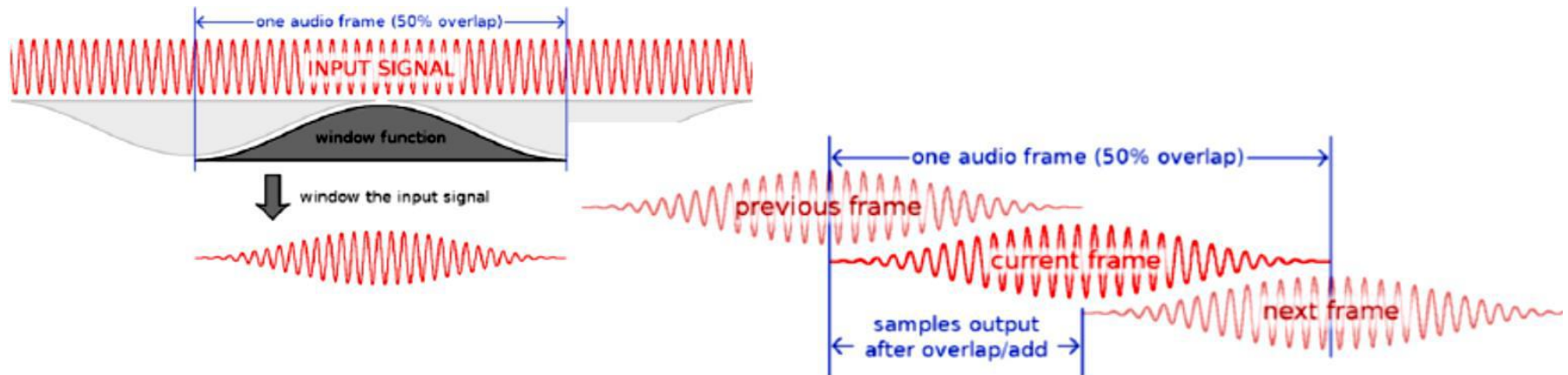




Modifizierte Diskrete Cosinus Transformation - MDCT

Motivation: Wir erhalten Audiofragmente an Blockgrenzen

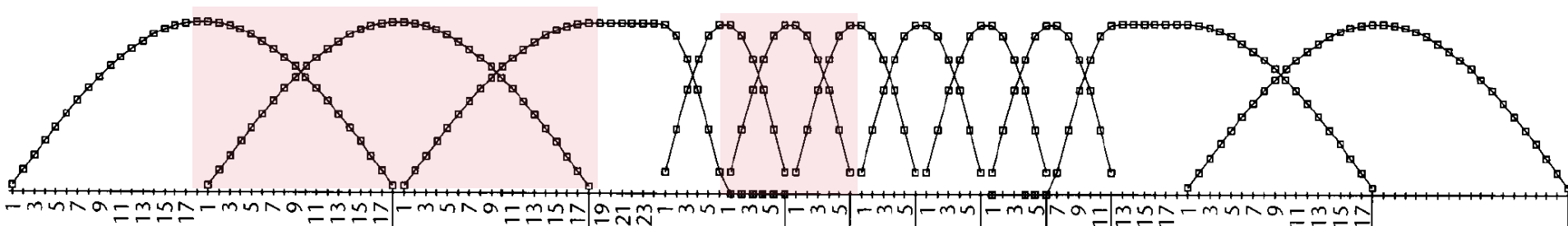
- **MDCT:** Sample-Blöcke überschneiden sich zu 50% und werden gewichtet mit einer Fenster-Funktion
 - Vermeidet Artefakte an Blockgrenzen
 - Die doppelte Verwendung jedes Signal-Samples führt zu Time-Domain Aliasing Cancellation (TDCA)





MP3 Kodierung

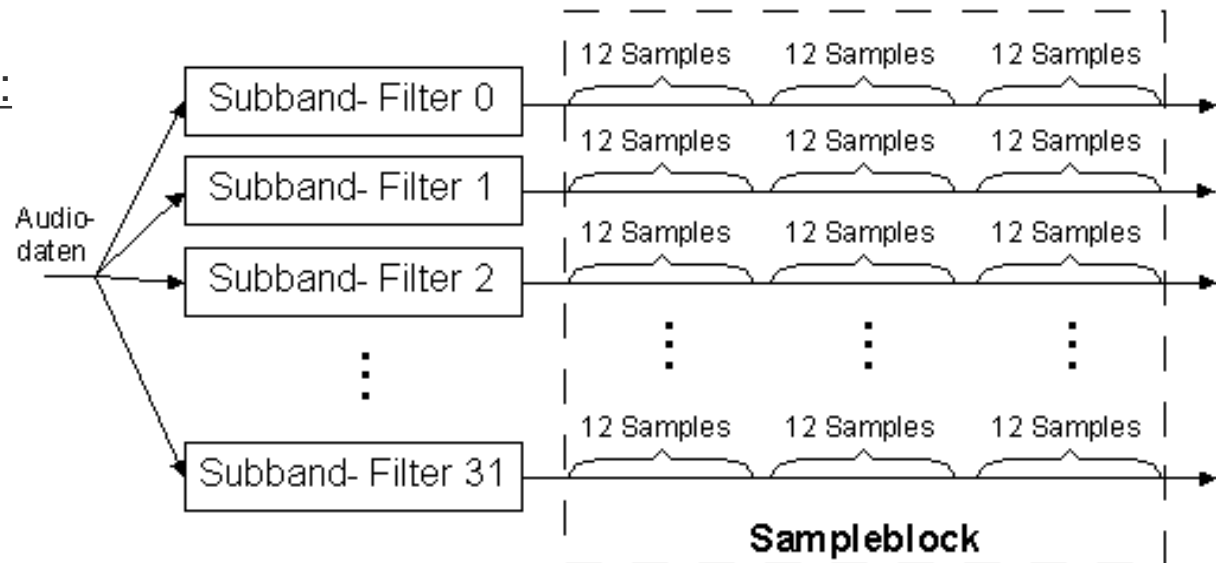
1. Aufteilung in **32 Frequenzbänder** durch Polyphasenfilterbank (**verlustbehaftet**)
 - hohe Auflösung (schmale Frequenzbänder) für gut hörbare Frequenzen (300-1200Hz)
2. Aufteilung der Frequenzbänder in **SampeI-Blöcke** für die MDCT mit folgenden Größen:
 - i. 12 Sample pro Block mit 6 Grundfrequenzen
 - **gut für schnelle Änderungen**
 - ii. 36 Samples pro Block mit 18 Grundfrequenzen
 - **gute Frequenzauflösung**





MP3 Kodierung

Zwischenergebnis:



3. **Quantisierung** der Frequenzbänder: maskierte Frequenzen können mit geringerer Auflösung oder gar nicht gespeichert werden
4. Huffman-Kodierung der quantisierten Frequenzen

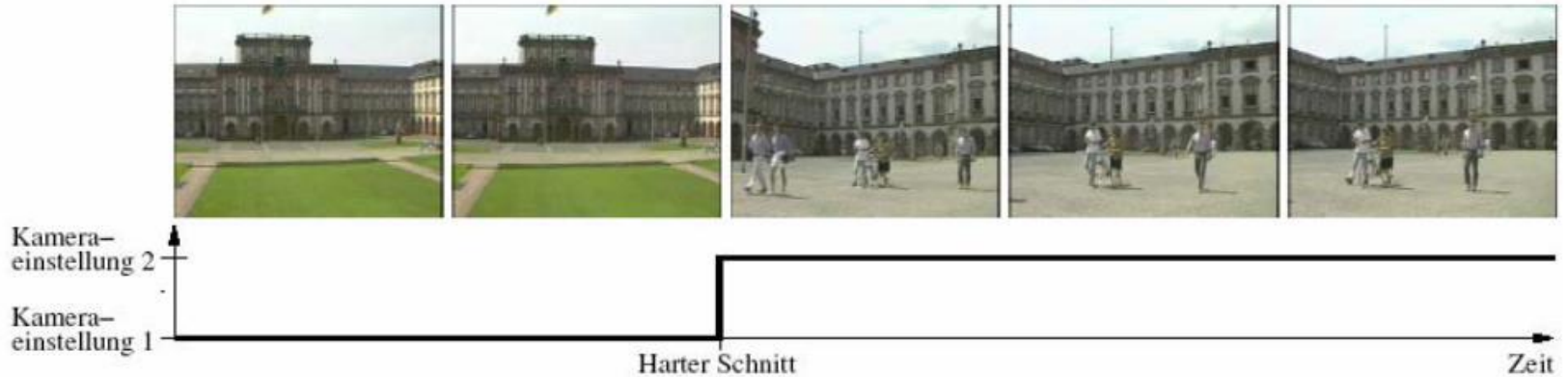


Videoanalyse

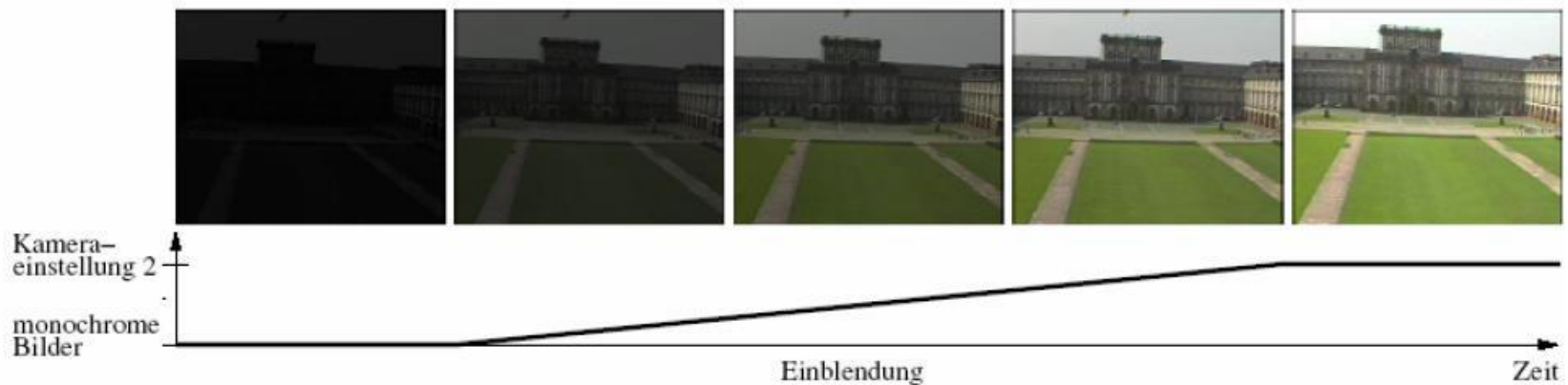


Szenen-Übergänge

■ Schnitt (Cut)



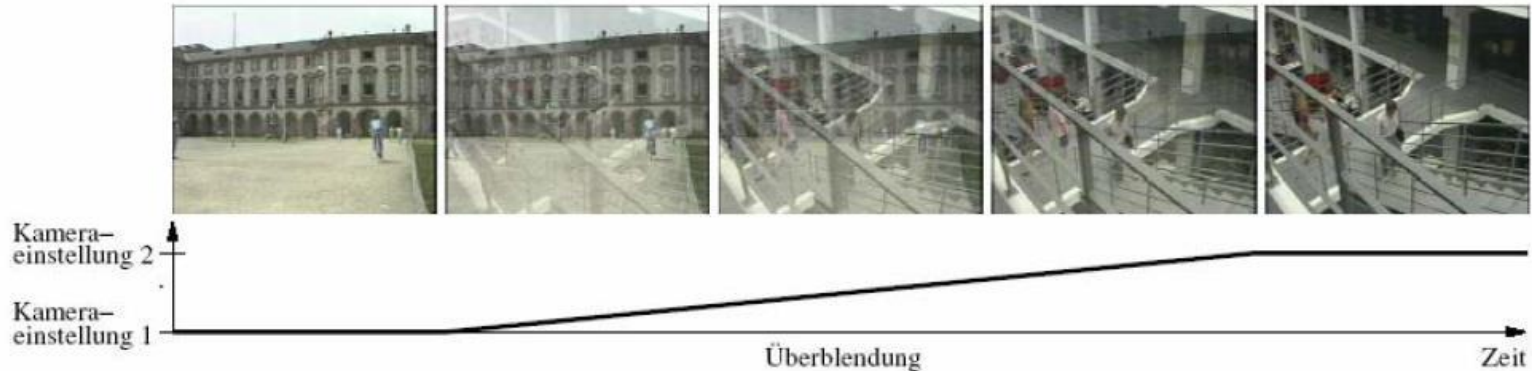
■ Einblendung (Fade in)





Szenen-Übergänge

■ Überblendung (Dissolve)



Algorithmen zur Erkennung:

- Pixelbasierte Verfahren
- Analyse von Farbhistogrammen
- Kantenextraktion – Edge Change Ratio (ECR)
- Kantenorientierte Kontrast



Pixelbasierte Schnitterkennung

Idee: Wir berechnen das Differenzbild von jeweils zwei Frames und berechnen daraus die absolute Pixeldifferenz.

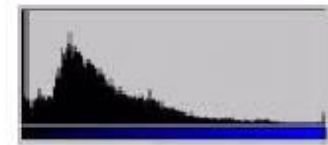
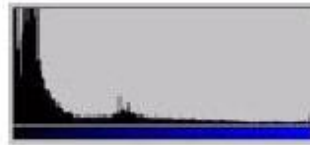
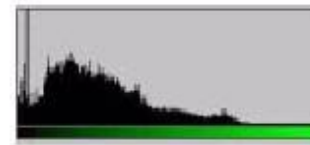
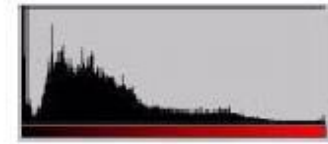
$$D_{SAD} = \frac{1}{N_x \cdot N_y} \cdot \sum_{x=1}^{N_x} \sum_{y=1}^{N_y} |I_i(x, y) - I_{i-1}(x, y)|$$

Falls $D_{SAD} > \text{Grenzwert} \Rightarrow$ Harter Schnitt

Vorteil: geringe Komplexität, robuste Schnitterkennung

Nachteil: hohe Fehlerrate bei starker Bewegung und Szenen-Überblendungen werden gar nicht erkannt

Histogrammbasierte Schnitterkennung

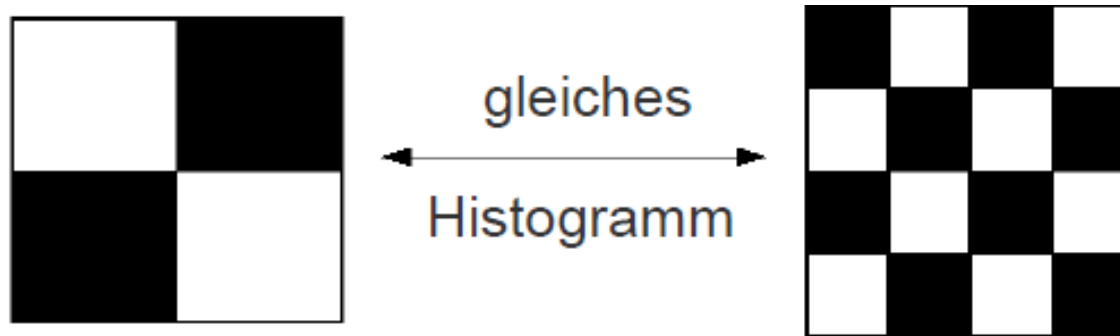


Cut



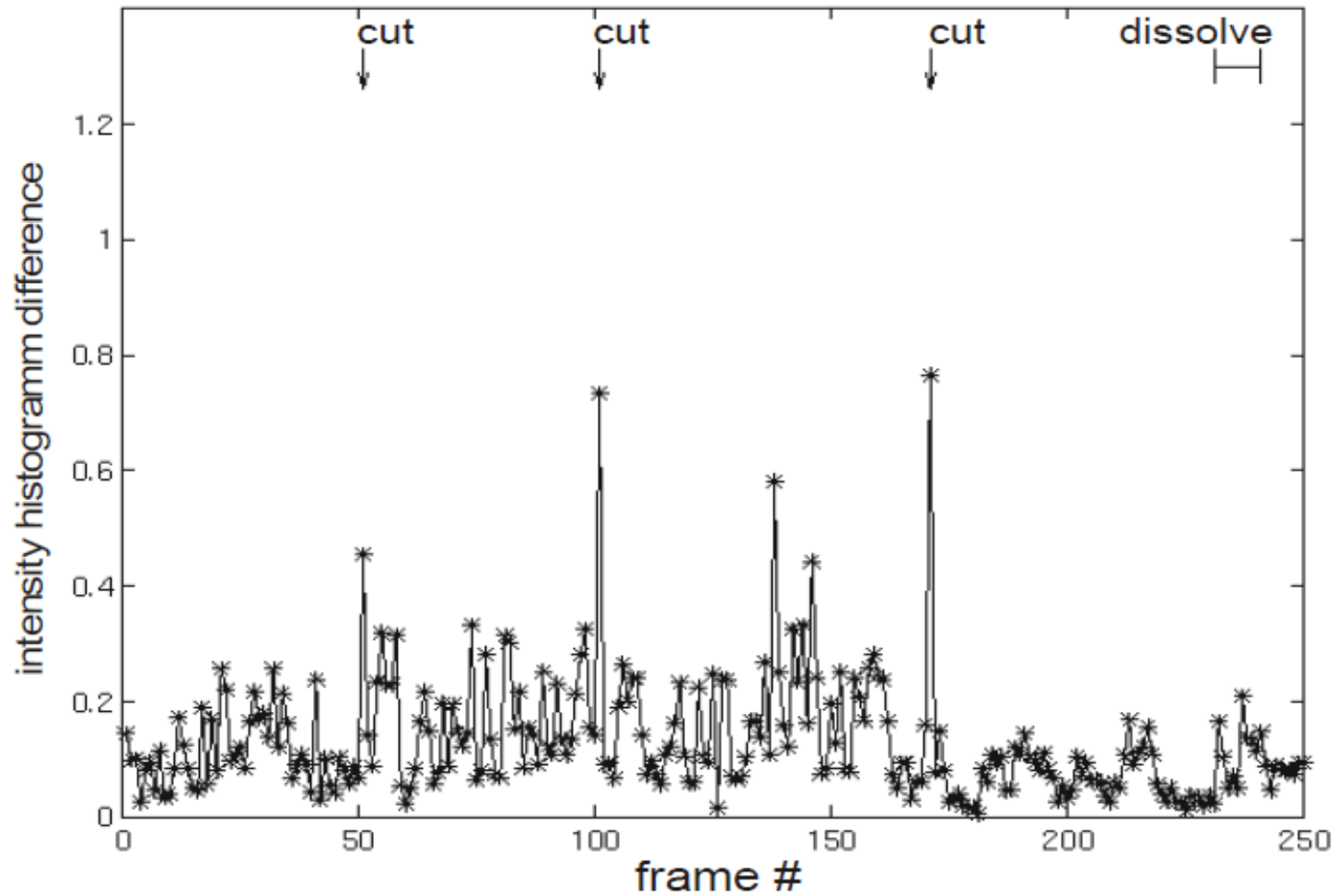
Histogrammbasierte Schnitterkennung

Probleme:



Große Änderung in Action-Szenen:







Kantenbasierte Schnitterkennung

Idee: Wenn sich nur ein Objekt oder die Kamera bewegen, besitzen aufeinander folgende Frame ähnlich viele Kantenpixel.

Vorgehen:

1. Berechnung von Kantenbildern durch z.B. Canny-Algorithmus
2. Berechnung der Edge-Change-Ratio (ECR):

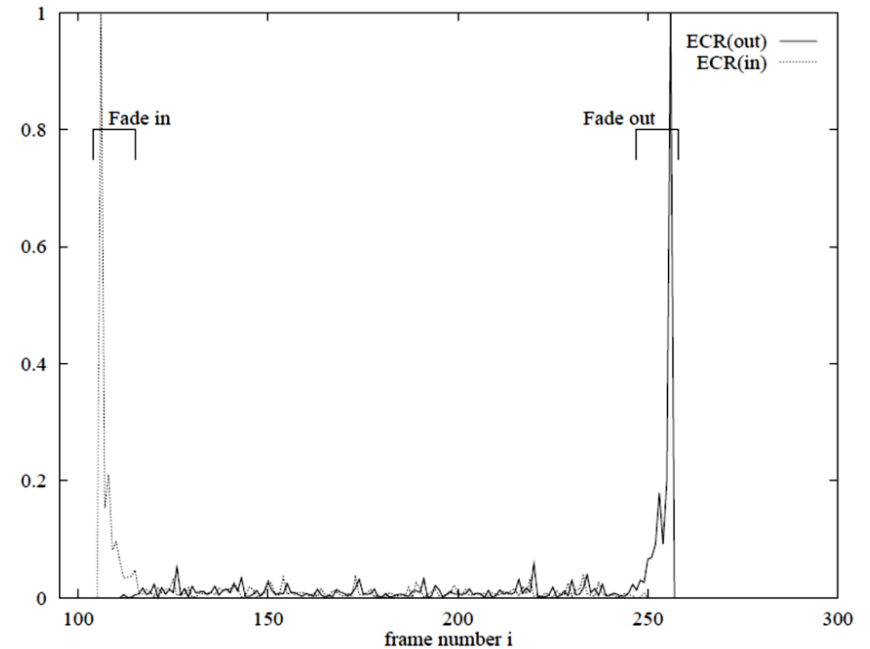
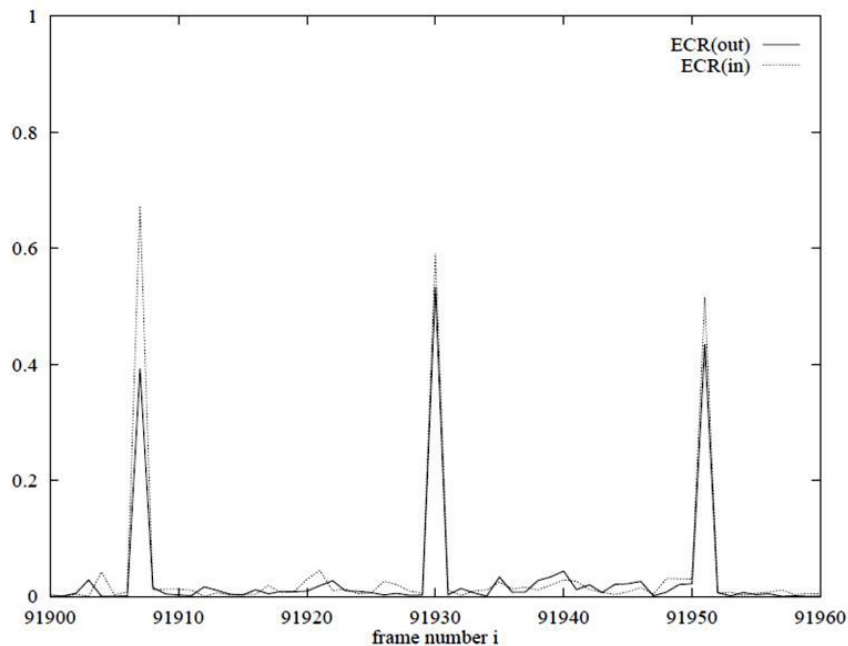


$$ECR_{i-1} = \max \left(\frac{E_{in}}{S_{i-1}}, \frac{E_{out}}{S_i} \right)$$



ECR-Schnitterkennung

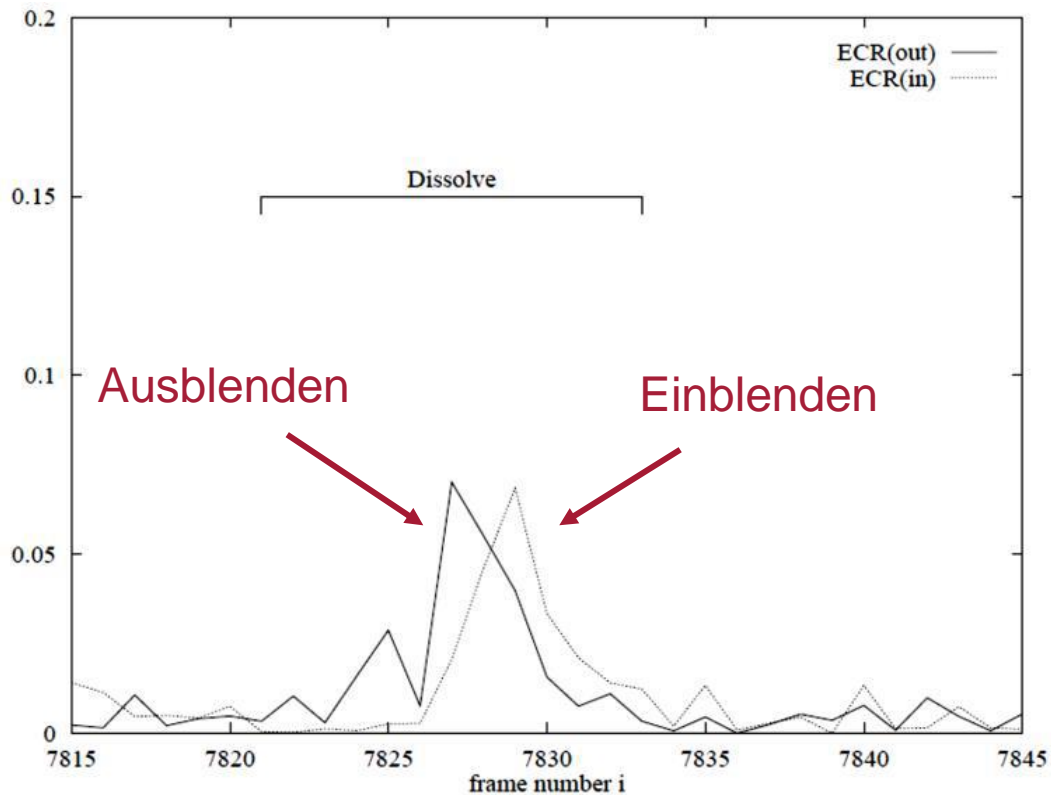
- Gut bei harten Schnitten
- Relativ gut bei Ein- und Ausblendungen





ECR-Schnitterkennung

- Schlecht bei Überblendungen





Kantenorientierter Kontrast

Idee: Kantenstärke ist niedrig bei Überblendungen

Vorgehen:

1. Wir bestimmen für jeden Pixel in **einem** Frames, ob er ein starker oder schwacher Kantenpixel ist
2. Und berechnen dann das Verhältnis zwischen diesen:

Anz. starke Kantenpixel

$$EC(i) = 1 + \frac{s(i)-w(i)-1}{s(i)+w(i)+1}$$

Anz. schwache Kantenpixel

